

機械学習ポテンシャルを活用した結晶構造予測

劉 暢 ものづくりデータ科学研究中心 特任助教

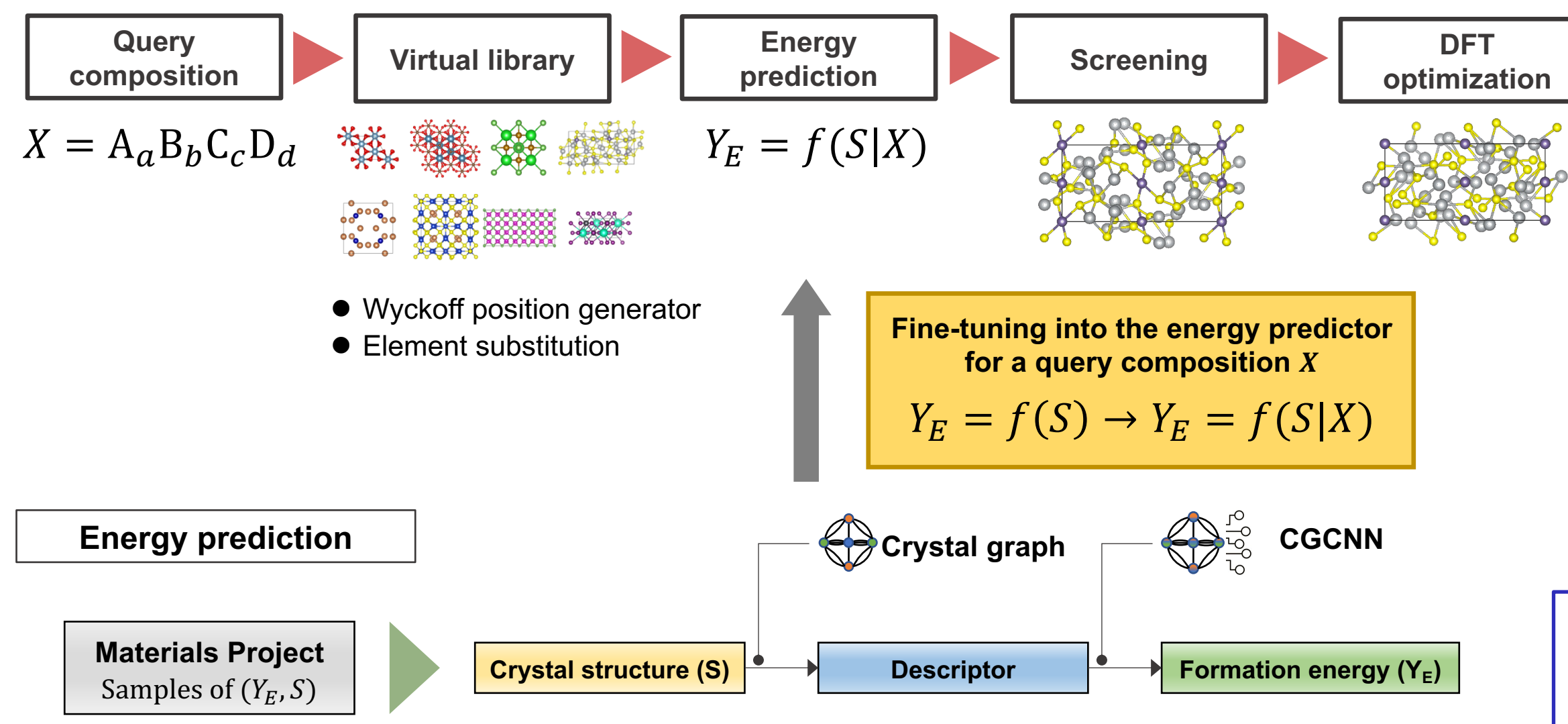
> Introduction

結晶構造予測の目標は、標的分子の構造式の情報のみから、その分子の安定に存在する結晶構造を提案することである。近年では、機械学習による探索手法が数多く提案されたが、予測精度や計算コストなどの問題は依然として存在する。結晶構造予測の効率・高速化は、産業界から強く期待されている。

現段階では以下の成果を得ている。

1. C. Liu *et al.*, "Shotgun crystal structure prediction using machine-learned formation energies," (submitted), DOI: [10.48550/arXiv.2305.02158](https://doi.org/10.48550/arXiv.2305.02158)
2. M. Kusaba *et al.*, "Crystal structure prediction with machine learning-based element substitution," Comput. Mater. Sci., DOI: [10.1016/j.commatsci.2022.111496](https://doi.org/10.1016/j.commatsci.2022.111496)
3. Code: https://github.com/yoshida-lab/XenonPy/blob/master/samples/CSP_with_element_substitution.ipynb

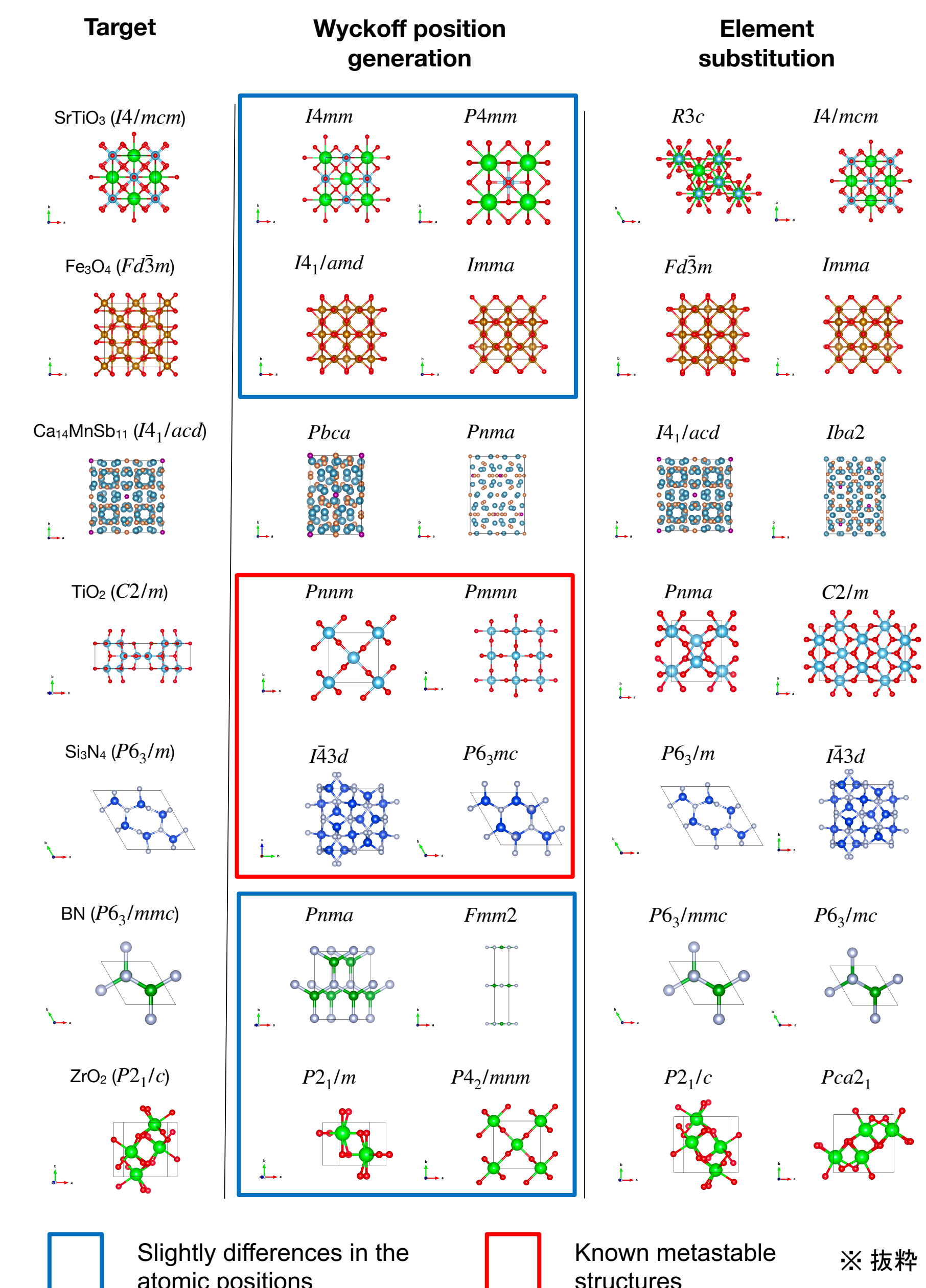
> Workflow



1. 化学組成からバーチャルライブラリーを生成する
 - Wyckoff position generator
 - Element substitution
2. バーチャルライブラリーの構造エネルギーを評価し構造候補を選択する
 - CGCNN (転移学習)
3. 候補構造を最適化して、安定構造を提案する

ループ計算が要らないため、構造最適化にかかる時間が大幅に削減！

> Results



Dataset I. 40 benchmark crystals selected based on the diversity of space groups, constituent elements, number of atoms, and element species; and the diversity of applications such as battery and thermoelectric materials

Composition	Number of atoms	Space group	Wyckoff position generation	Element substitution	USPEX
C	4	$R\bar{3}m$	✓ (✓)	✓ (✓)	✗
Si	2	$Fd\bar{3}m$	✓ (✓)	✓ (✓)	✓
GaAs	2	$F\bar{4}3m$	✓ (✓)	✓ (✓)	✗
ZnO	4	$P\bar{4}3m$	✓ (✓)	✓ (✓)	✗
BN	4	$P\bar{6}3/mmc$	✗ (✗)	✓ (✓)	✗
LiCoO_2	16	$R\bar{3}m$	✓ (✓)	✓ (✓)	✗
Bi_2Te_3	5	$R\bar{3}m$	✓ (✓)	✓ (✓)	✗

Element substitution (top 10) ≈ : 82.5%

Wyckoff generator (top 10) ≈ : 47.5%

USPEX with known space groups: 32.5%

USPEX with unknown space groups: 12.5%

≈ 15,000 candidate crystals

Success of the space group prediction (top 10): 84.4%

→ Fail to predict 19 structures

→ Unable to generate the true Wyckoff labels of 16 structures

Dataset II. 50 benchmark crystals randomly selected from the Materials Project database

Composition	Number of atoms	Space group	Wyckoff position generation	Element substitution	USPEX
CsCl	2	$Fm\bar{3}m$	✓ (✓)	✓ (✓)	—
MnAl	2	$P\bar{4}1mm$	✓ (✓)	✓ (✓)	—
HoHse	3	$P\bar{6}m2$	✓ (✓)	✓ (✓)	✓
$\text{Er}(\text{GdR}_2)$	4	$F\bar{m}\bar{3}m$	✓ (✓)	✓ (✓)	✗
Eu_2MgTi	4	$F\bar{m}\bar{3}m$	✓ (✓)	✓ (✓)	✗
Pm_1NiIr	4	$F\bar{m}\bar{3}m$	✓ (✓)	✓ (✓)	✗
VP_3	4	$I\bar{4}3m$	✓ (✓)	✓ (✓)	✓
$\text{Gd}(\text{SiO}_4)_2$	5	$I\bar{4}mm$	✓ (✓)	✓ (✓)	✓
$\text{La}_{0.5}\text{Al}_{0.5}\text{Au}$	5	$I\bar{4}mm$	✓ (✓)	✓ (✓)	✗
$\text{U}_{0.5}\text{Nb}_{0.5}\text{N}$	5	$I\bar{4}mm$	✓ (✓)	✓ (✓)	✗
$\text{Mn}(\text{CuSe})_2$	8	$\bar{I}4$	✗ (✗)	✓ (✓)	✗
$\text{Sm}(\text{ZnPd})$	9	$P\bar{6}2m$	✓ (✓)	✓ (✓)	✗
$\text{Sm}(\text{TePd})_2$	9	$I\bar{4}mm$	✗ (✗)	✓ (✓)	✗
$\text{V}_{0.5}\text{S}_{0.5}$	9	$I\bar{4}m$	✗ (✗)	✓ (✓)	✗
Cs_2InF_6	10	$F\bar{m}\bar{3}m$	✓ (✓)	✓ (✓)	✗
$\text{Eu}(\text{CuSi}_3)$	10	$P\bar{4}1mm$	✗ (✗)	✓ (✓)	✗
$\text{Rb}_2\text{TiAl}_3\text{Cl}_6$	10	$F\bar{m}\bar{3}m$	✓ (✓)	✓ (✓)	✗
$\text{Ca}_3\text{Ni}_2\text{B}_2$	12	$R\bar{3}m$	✗ (✗)	✓ (✓)	✗
DyPO_4	12	$I\bar{4}1acd$	✓ (✓)	✓ (✓)	✓
LaSrIr	12	$P\bar{2}1_3$	✗ (✗)	✓ (✓)	✗
SmVO_4	12	$I\bar{4}1am$	✓ (✓)	✓ (✓)	✗
$\text{VC}_{0.5}$	12	$P\bar{1}$	✗ (✗)	✓ (✓)	✗
YbP_3	12	$P\bar{2}1/m$	✗ (✗)	✓ (✓)	✗
$\text{Eu}(\text{Al}_2\text{Cu}_4)$	13	$I\bar{4}mm$	✗ (✗)	✓ (✓)	—
Zr_2O	15	$R\bar{3}$	✗ (✗)	✗ (✗)	✗
$\text{K}_2\text{Ni}_3\text{S}_4$	18	$Fdd2$	✓ (✓)	✓ (✓)	✗
$\text{Sr}(\text{ClO}_4)_2$	18	$P\bar{2}1_2$	✗ (✗)	✓ (✓)	✗
$\text{LiSm}_2\text{IrO}_6$	20	$P\bar{2}1/c$	✗ (✗)	✓ (✓)	✗
Pr_2ZnPO_4	20	$P\bar{2}1/c$	✗ (✗)	✓ (✓)	✗
$\text{Sc}_2\text{Mn}_3\text{P}_2$	21	$P\bar{6}$	✗ (✗)	✓ (✓)	✗
LaSi_3Ni_3	24	$I\bar{4}1acd$	✓ (✓)	✓ (✓)	✗
CeCu_3Sn	28	$Pnma$	✓ (✓)	✓ (✓)	—

Overall: 19/40 = 47.5% 33/40 = 82.5% 5/40 = 12.5% 13/40 = 32.5%

Composition	Number of atoms	Space group	Wyckoff position generation	Element substitution	USPEX
$\text{LiFe}(\text{PO}_4)_2$	32	$Pna2_1$	✗ (✗)	✓ (✓)	✗
$\text{Mg}_2\text{Si}_2\text{H}_3\text{O}_3$	36	$P6_3/mmc$	✗ (✗)	✓ (✓)	✗
$\text{Y}_3\text{Si}_2\text{I}_6$	36	$P6_5/mmc$	✗ (✗)	—	—
$\text{Na}(\text{CaFeO}_4)_2$	37	$R\bar{3}$	—	—	—
$\text{Sm}_2\text{Ni}_3\text{S}_4$	39	$P\bar{6}$	— (—)	✓ (✓)	—
$\text{Ba}_2\text{Ca}_2\text{Ga}_2\text{F}_7$	40	$P2_1/c$	✗ (✗)	✓ (✓)	✗
$\text{Ti}_{0.9}\text{Sn}_{10}$	42	$I\bar{4}mm$	— (—)	✓ (✓)	—
$\text{AlH}_3(\text{IO}_4)_3$	44	$R\bar{3}c$	— (—)	✓ (✓)	✗
$\text{K}_2\text{Zr}_2\text{O}_7$	48	$P2_1/c$	✗ (✗)	✓ (✓)	✗
$\text{Ba}_2\text{Ta}_2\text{Si}_2\text{O}_9$	60	$P\bar{3}m$	✗ (✗)	✓ (✓)	✗
$\text{LiZr}_2(\text{PO}_4)_2$	72	$P2_1/c$	✗ (✗)	✓ (✓)	—
$\text{K}_3\text{Ag}_2(\text{AsSe}_3)_3$	76	$Pnma$	✗ (✗)	—	—
Be_2Ru_3	80	$I\bar{m}^3$	✓ (✓)	✓ (✓)	✓
$\text{Cu}_2\text{P}_2\text{Cl}_3$	80	$Pnma$	✗ (✗)	✓ (✓)	✗
$\text{Al}_2\text{Co}_3\text{O}_9$	84	$P\bar{3}m1$	✗ (✗)	✓ (✓)	—
$\text{Li}_2\text{V}_3\text{P}_2\text{O}_9$	92	$P\bar{1}$	— (—)	✓ (✓)	—
ReBi_2O_3	96	$P2_1_3$	✗ (✗)	✓ (✓)	—
$\text{Na}_2\text{Fe}_2\text{P}_2\text{O}_7$	288	$Pbca$	— (—)	—	—

Element substitution (top 10) ≈ : 86.0%

Wyckoff generator (top 10) ≈ : 32.0%

USPEX with unknown space groups: 10.0%

高精度・高性能を同時に実現！